

# *Reglertechnik Z/Kf/F*

## *Kurskod: SSY 051, ERE 091*

# Tentamen 2008-06-02

Tid: 8:30-12:30, Lokal: V-huset

Lärare: Bengt Lennartson tel 3722

Tentamen omfattar 25 poäng, där betyg tre fordrar 10 poäng, betyg fyra 15 poäng och betyg fem 20 poäng.

*Tentamensresultat anslås senast den 16 juni på avdelningens anslagstavla i ED-huset våning 5. Granskning av rättningskommitté sker den 16 och 17 juni kl 12:30-13:00 på avdelningen.*

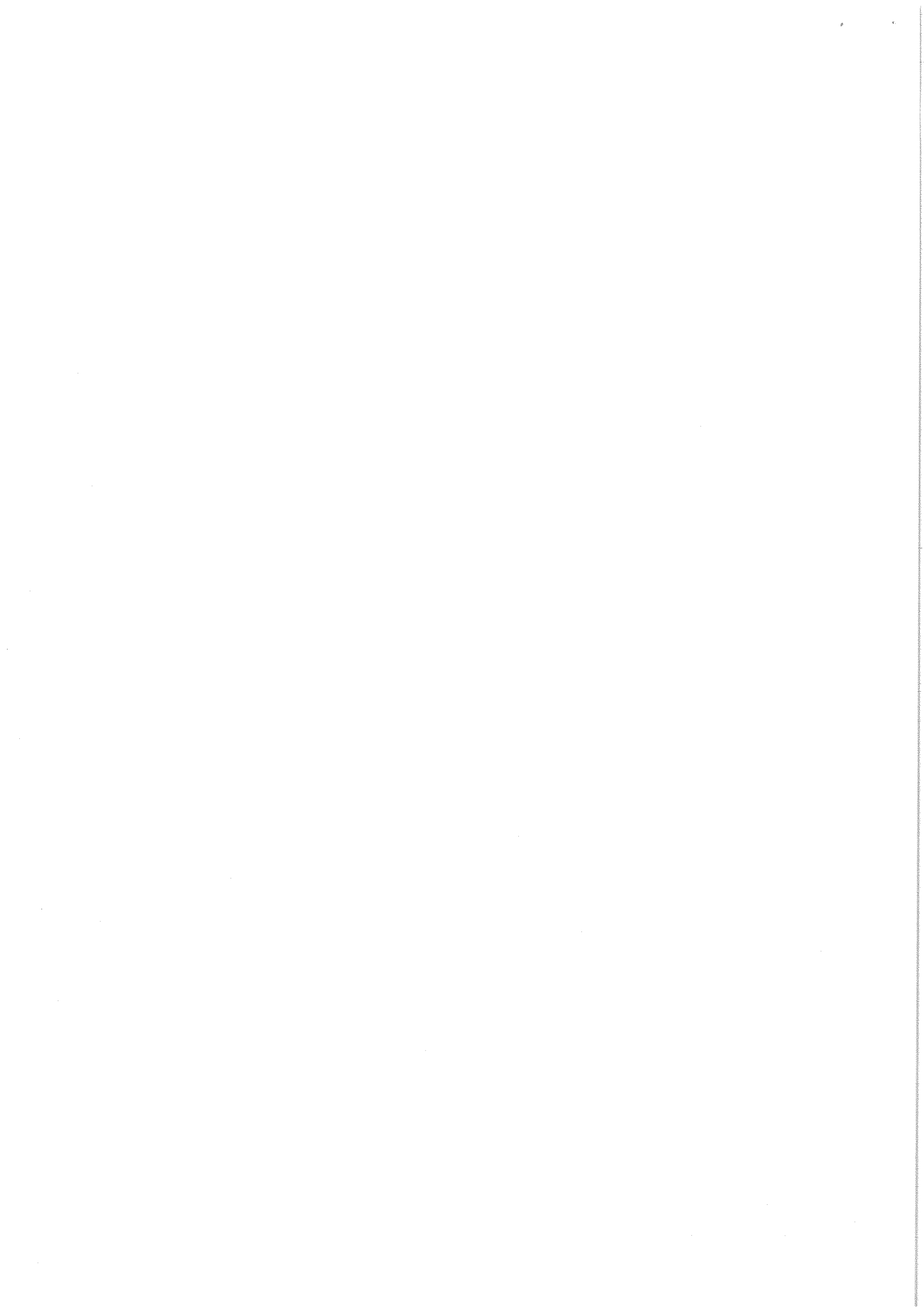
### *Tillåtna hjälpmedel:*

- Formelsamling i reglerteknik (gammal och ny). Anteckningar är tillåtna i formelsamlingen.
  - Bodediagram (finns längst bak i tentatesen).
  - Matematiska och fysikaliska tabeller, t ex Beta och Physics handbook.
  - Valfri kalkylator.

Lycka till!

Institutionen för signaler och system  
Avdelningen för reglerteknik, automation och mekatronik  
Chalmers tekniska högskola





## 1

I ett enhetsåterkopplat reglersystem, där insignalen till regulatorn är reglerfelet  $e = r - y$ , ingår följande block

$$\begin{array}{ll} \text{Regulator:} & F(s) = K_p \\ \text{Styrdon :} & G_u(s) = K_u, \text{ där } K_u = 0.5 \\ \text{Process :} & G_y(s) = \frac{2}{s(s+2)} \end{array}$$

- a) Dimensionera P-regulatorn så att det återkopplade systemet får en dubbelpol och ange dess placering. (1 p)
- b) Beräkna det återkopplade systemets stegsvar från referenssignalen  $r$  till processens utsignal  $y$  samt motsvarande stigtid  $t_r$ . (2 p)
- c) Bestäm den komplementära känslighetsfunktionens bandbredd  $\omega_b$  samt ange produkten  $\omega_b t_r$ . (1 p)
- d) Bestäm känslighetsfunktionen och beräkna det kvarstående felet vid stegsvar från referenssignalen  $r$  till utsignalen  $y$ . (1 p)

## 2

En process med överföringsfunktionen

$$G(s) = \frac{K}{(1+Ts)(1+2\zeta_ps/\omega_n + (s/\omega_n)^2)}$$

där  $K = 1$ ,  $T = 0.5$ ,  $\zeta_p = 1$  och  $\omega_n = 1$  ska regleras med en PID-regulator

$$F_{PID}(s) = K_i \frac{1 + 2\zeta s\tau + (s\tau)^2}{s(1 + s\tau/\beta)}$$

Välj fasmarginalen  $\varphi_m = 50^\circ$ ,  $\zeta = 1$  (dubbelnollställe) samt  $\beta = 6$ .

- a) Valet av överkorsningsfrekvens  $\omega_c$  är inte självklart. Dimensionera därför två PID-regulatorer. Välj dels  $\omega_c = 1.3$  rad/sek, vilket ger den största integralförstärkningen  $K_i$ , och jämför med  $\omega_c = 1.6$  rad/sek. Det senare valet motsvarar en vanlig tumregel som säger att  $\omega_c = \sqrt{\beta}/\tau$ , som är mittfrekvensen för PD-delen  $(1+s\tau)/(1+s\tau/\beta)$  då  $\zeta = 1$ . (4 p)
- b) Kommentera skillnaderna i förmågan att kompensera lågfrekventa laststörningar och känsligheten för högfrekventa mätstörningar i styrsignalen genom att studera och jämföra kriteriterna  $J_v = 1/K_i$  och  $J_u = F(\infty)$  för de båda regulatorerna. (1 p)

Vid dimensionering av regulatorer på tillståndsform utnyttjas ofta möjligheten att inkludera en PID-regulator med dubbelnollställe

$$F_{PID}(s) = K_i \frac{(1+s\tau)^2}{s(1+s\tau/\beta)}$$

i serie med processens överföringsfunktion  $G(s)$ . För den utökade filtrerade modellen  $G(s)F_{PID}(s)$  dimensioneras sedan en tillståndsåterkopplingsregulator inklusive observer. Polplaceringen väljs då genom att optimera linjärkvadratiska kriterier. Denna procedur innebär att komplicerade processer  $G(s)$  med exempelvis resonanser och instabila poler kan dimensioneras på ett enkelt sätt. För att genomföra denna procedur krävs att den filtrerade modellen  $G(s)F_{PID}(s)$  ges på tillståndsform.

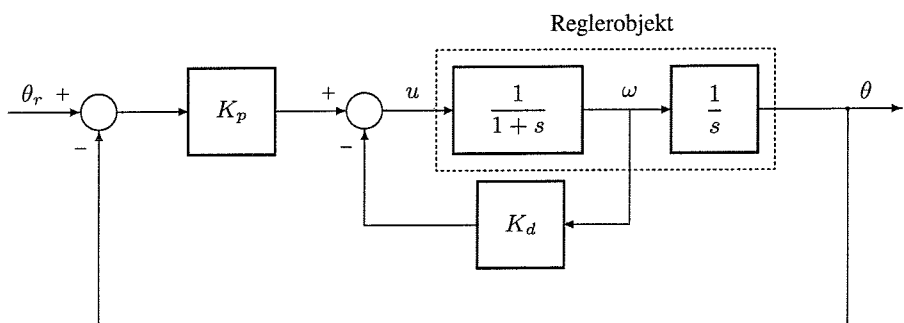
- a) Ange först processmodellen

$$G(s) = \frac{2(1-s)}{(1+s)(1+0.5s)}$$

på tillståndsform (1 p)

- b) Ange PID-regulatorn  $F_{PID}(s)$  på tillståndsform (2 p)
- c) Ange den filtrerade modellen  $G(s)F_{PID}(s)$  på tillståndsform genom att utnyttja de redan erhållna tillståndsmodellerna i uppgift a) och b). (2 p)

Figuren nedan beskriver ett servosystem för positionering av en last. I systemet används reglering med *inre återföring*, dvs förutom reglerobjektets utsignal (vinkeln  $\theta$ ) återkopplas ytterligare en variabel (vinkelhastigheten  $\omega$ ). Denna princip används ofta för att erhålla snabbare och noggrannare reglering.



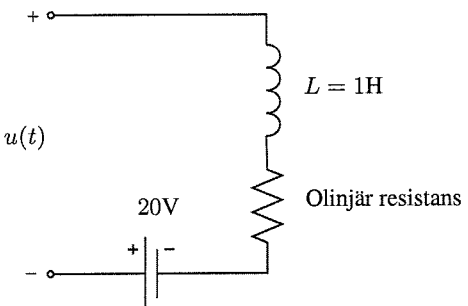
- a) Välj  $K_d$  och  $K_p$  så att polerna för det återkopplade systemet hamnar i  $s = -1 \pm j$ . (2 p)

- b) Antag att en icke-modellerad resonans uppträder vid stysignalens excitation av reglerobjektet. Bestäm därför kretsöverföringen  $L(s)$  då loopen bryts upp vid stysignalen  $u$  samt motsvarande komplementära känslighetsfunktion  $T(s)$ . (2 p)
- c) Studera högfrekvensasymptoten för  $T(s)$  då derivataförstärkningen  $K_d$  kompletteras med ett lågpassfilter, d.v.s.  $K_d$  ersätts med

$$\frac{K_d}{1 + 0.1s}$$

och jämför med motsvarande resultat utan filter. Kommentera robustheten med avseende på den icke-modellerade resonansen för lösningen med och utan detta lågpassfilter. (2 p)

## 5



Figuren visar en elektrisk krets med en olinjär resistans, en induktans, en konstant spänningsskälla, samt en tidsvariabel insignalspänning  $u(t)$ .

- a) Formulera en olinjär dynamisk modell med strömmen i kretsen  $i(t)$  som tillståndsvariabel då strömmen genom resistansen

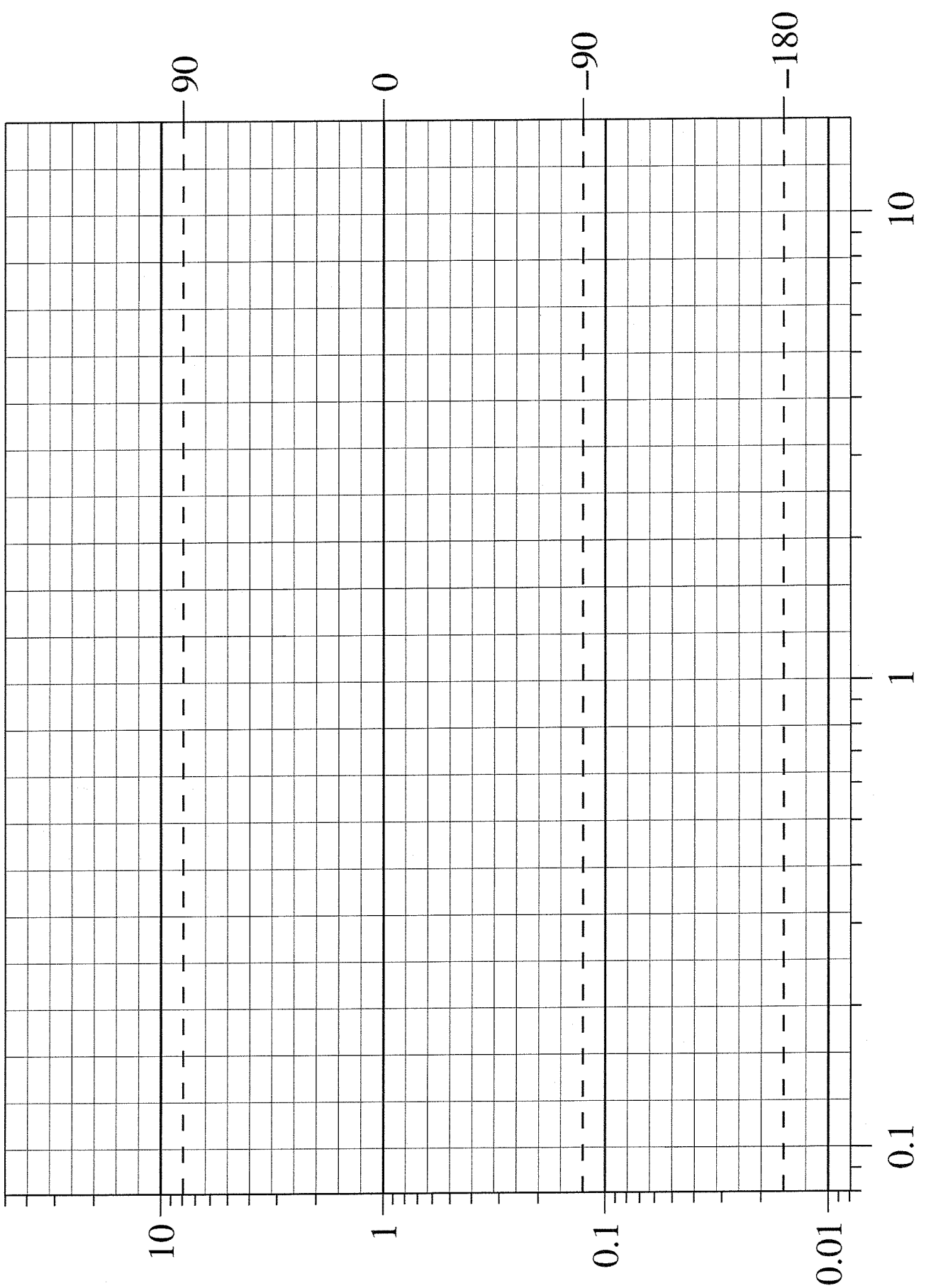
$$i_r = 2e^{0.1v_r}$$

där  $v_r$  är spänningen över resistansen.

(2 p)

- b) Formulera en linjär modell kring arbetspunkten  $u(t) = 0$  och bestäm överföringsfunktionen från  $u$  till spänningen över induktansen  $u_L$ , d.v.s.  $G(s) = U_L(s)/U(s)$ .

(2 p)



# Lösning till Reglerteknik 2d/F2 080602

1. a)  $L(s) = \frac{K_p}{s^2 + 2s}$   $G_{ry}(s) = \frac{K_p}{s^2 + 2s + K_p} = \frac{K_p}{(s+1)^2}$   
 för  $K_p = 1$ . Dubbelpol i  $s = -1$ .

b)  $Y(s) = G_{ry}(s) R(s) = \frac{1}{(s+1)^2 s}$

$$y(t) = 1 - (1+t)e^{-t}$$

$$y(0.532) = 0.1 \quad y(3.89) = 0.9 \quad t_r = 3.89 - 0.532 = \\ = \underline{\underline{3.36}}$$

c)  $T(s) = \frac{L(s)}{1+L(s)} = G_{ry}(s) = \frac{1}{(s+1)^2}$

$$|T(j\omega_b)| = \frac{1}{1+\omega_b^2} = \frac{1}{\sqrt{2}} \quad \omega_b = \sqrt{\sqrt{2}-1} = \underline{\underline{0.644}}$$

$$\omega_b t_r = 2.16 \quad \text{FS sid 23 angez}$$

tumr egeln  $\omega_b t_r = 2$ .

d)  $E(s) = R(s) - Y(s) = (1-T(s))R(s) = S(s)R(s)$

$$S(s) = \frac{1}{1+L(s)} = \frac{s(s+2)}{s^2 + 2s + 1} = \frac{s(s+2)}{(s+1)^2}$$

$$e(\infty) = \lim_{s \rightarrow 0} s E(s) = \lim_{s \rightarrow 0} s S(s) R(s) =$$

$$= \lim_{s \rightarrow 0} s \frac{s(s+2)}{(s+1)^2} \frac{1}{s} = \underline{\underline{0}}$$

$$2. a) G(s) = \frac{1}{(1+0.5s)(1+2s+s^2)} = \frac{1}{(1+0.5s)(1+s)^2}$$

$$F_{PID}(s) = \frac{K_i(1+2s\tau + (\tau)^2)}{s(1+s\tau/\beta)}$$

$\tau = 1$
$\beta = 6$

$$|G(j\omega_c)| = \frac{1}{\sqrt{1+0.25\omega_c^2} \cdot (1+\omega_c^2)} = \begin{cases} 0.3117 & \omega_c = 1.3 \\ 0.2194 & \omega_c = 1.6 \end{cases}$$

$$\angle G(j\omega_c) = -\text{arctan } 0.5\omega_c - 2\text{arctan } \omega_c = \begin{cases} -137.9^\circ & \omega_c = 1.3 \\ -154.7^\circ & \omega_c = 1.6 \end{cases}$$

$$\angle F_{PID}(j\omega_c) = \varphi_m - 180^\circ - \angle G(j\omega_c) = \begin{cases} -180^\circ + 137.9^\circ = 7.9^\circ & \omega_c = 1.3 \\ -180^\circ + 154.7^\circ = 24.7^\circ & \omega_c = 1.6 \end{cases}$$

Enligt FS s 30

$$\omega_c \tau = \begin{cases} 1.5 & \angle F_{PID} = 7.9^\circ \\ 2.6 & \angle F_{PID} = 24.7^\circ \end{cases} \Rightarrow \boxed{\tau = \begin{cases} 1.15 & \omega_c = 1.3 \\ 1.63 & \omega_c = 1.6 \end{cases}}$$

$$K_\infty |G(j\omega_c)| = \begin{cases} 2.9 & \angle F_{PID} = 7.9^\circ \\ 2.2 & \angle F_{PID} = 24.7^\circ \end{cases} \Rightarrow K_\infty = \begin{cases} 9.30 & \omega_c = 1.3 \\ 10.03 & \omega_c = 1.6 \end{cases}$$

$$K_i = \frac{K_\infty}{\tau \beta} = \begin{cases} 1.35 & \omega_c = 1.3 \\ 1.03 & \omega_c = 1.6 \end{cases}$$

$$b) \quad \hat{J}_0 = \frac{1}{K_i} = \begin{cases} 0.741 & \omega_c = 1.3 \\ 0.971 & \omega_c = 1.6 \end{cases} \quad \frac{0.741}{0.971} = 0.76$$

∴ 24% lägre  $\hat{J}_0$  vid  $\omega_c = 1.3$

$$\hat{J}_n = K_\infty = \begin{cases} 9.3 & \omega_c = 1.3 \\ 10.03 & \omega_c = 1.6 \end{cases} \quad \frac{9.3}{10.03} = 0.93$$

∴ 7% lägre  $\hat{J}_n$  vid  $\omega_c = 1.3$

Slutsat:  $\omega_c = 1.3$  ger framförallt  
bäst kompensering, är laststörnings- och

$$3. \quad 9) \quad G(s) = \frac{-2s+2}{0.5s^2 + 1.5s + 1} = \frac{-4s+4}{s^2 + 3s + 2}$$

$$\begin{bmatrix} \dot{x}_{G_1} \\ \dot{x}_{G_2} \end{bmatrix} = \begin{bmatrix} -3 & -2 \\ 1 & 0 \end{bmatrix} \begin{bmatrix} x_{G_1} \\ x_{G_2} \end{bmatrix} + \begin{bmatrix} 1 \\ 0 \end{bmatrix} u_G$$

$$y = [-4 \quad 4] \begin{bmatrix} x_{G_1} \\ x_{G_2} \end{bmatrix}$$

$$\textcircled{b}) \quad F_{PID}(s) = K_i \frac{\tau^2 s^2 + 2\tau s + 1}{s^2 \tau / \beta + s} =$$

$$= \frac{K_i \tau \beta s^2 + 2K_i \beta s + K_i \beta / \tau}{s^2 + \beta s / \tau} =$$

$$= K_i \tau \beta + \frac{As + B}{s^2 + \beta s / \tau} = \frac{K_i \tau \beta s^2 + (K_i \beta^2 + A)s + B}{s^2 + \beta s / \tau}$$

$$\therefore B = K_i \beta / \tau \quad A = 2K_i \beta - K_i \beta^2 = K_i \beta(2 - \beta)$$

$$\begin{bmatrix} \dot{x}_{F_1} \\ \dot{x}_{F_2} \end{bmatrix} = \begin{bmatrix} -\beta / \tau & 0 \\ 1 & 0 \end{bmatrix} \begin{bmatrix} x_{F_1} \\ x_{F_2} \end{bmatrix} + \begin{bmatrix} 1 \\ 0 \end{bmatrix} u$$

$$y_F = [K_i \beta(2 - \beta) \quad K_i \beta / \tau] \begin{bmatrix} x_{F_1} \\ x_{F_2} \end{bmatrix} + K_i \tau \beta u$$

$$\textcircled{c}) \quad \text{Läßt } u_G = y_F$$

$$u_G = K_i \beta(2 - \beta) x_{F_1} + K_i \beta / \tau x_{F_2} + K_i \tau \beta u$$

$$\begin{bmatrix} \dot{x}_{G_1} \\ \dot{x}_{G_2} \\ \dot{x}_{F_1} \\ \dot{x}_{F_2} \end{bmatrix} = \begin{bmatrix} -3 & -2 & K_i \beta(2 - \beta) & K_i \beta / \tau \\ 1 & 0 & 0 & 0 \\ 0 & 0 & -\beta / \tau & 0 \\ 0 & 0 & 1 & 0 \end{bmatrix} \begin{bmatrix} x_{G_1} \\ x_{G_2} \\ x_{F_1} \\ x_{F_2} \end{bmatrix} + \begin{bmatrix} K_i \tau \beta \\ 0 \\ 1 \\ 0 \end{bmatrix} u$$

$$y = [-4 \quad 4 \quad 0 \quad 0] \begin{bmatrix} x_{G_1} \\ x_{G_2} \\ x_{F_1} \\ x_{F_2} \end{bmatrix}$$

$$9. \quad g) \quad U(s) = K_p \Theta_r(s) - (K_p + sK_d) \Theta(s)$$

$$\Theta(s) = \frac{1}{s^2 + s} U(s)$$

$$\Theta(s) = \frac{1}{s^2 + s} (K_p \Theta_r(s) - (K_p + sK_d) \Theta(s))$$

$$(s^2 + (1+K_d)s + K_p) \Theta(s) = K_p \Theta_r(s)$$

$$G_{\Theta_r \Theta}(s) = \frac{K_p}{s^2 + (1+K_d)s + K_p} = \frac{K_p}{(s+1+j)(s+1-j)} = \\ = \frac{K_p}{s^2 + 2s + 1 + 1} = \frac{K_p}{s^2 + 2s + 2} \Rightarrow \begin{matrix} K_p = 2 \\ K_d = 1 \end{matrix}$$



$$U'(s) = \underbrace{-(K_p + sK_d)}_{-L(s)} \frac{1}{s^2 + s} U(s)$$

$$L(s) = \frac{s+2}{s(s+1)} \quad T(s) = \frac{L(s)}{1+L(s)} = \frac{s+2}{s^2 + 2s + 2}$$

9)

$$L(s) = \left(2 + \frac{s}{1+0,1s}\right) \frac{1}{s(s+1)} = \frac{1,2s+2}{(1+0,1s)s(s+1)} \\ = \frac{1,2s+2}{s^2 + s + 0,1s^3 + 0,1s^2} = \frac{12s+20}{s^3 + 11s^2 + 10s}$$

$$T(s) = \frac{12s+20}{s^3 + 11s^2 + 22s + 20}$$

$$|T(j\omega)| \rightarrow \frac{1}{\omega} \quad \omega \gg 1 \quad \text{utan LP-filtar} \\ \rightarrow \frac{12}{\omega^2} \quad \omega \gg 1 \quad \text{med LP-filtar}$$

LP-filtret medfölj att (T) minskar snabbare för högre frekvenser (utsäring (-2)). Därmed ökar robustheten för den icke-modellade HF-resonansen.

$$5. \quad 9) \quad u + 20 = \frac{di}{dt} + vr$$

$$\ln 0.5 i_0 = 0.1 vr$$

$$\frac{di}{dt} = -10 \ln 0.5 i_0 + 20 + u = f(i, u)$$

b) Linjär modell för  $u=0$

$$-10 \ln 0.5 i_0 + 20 = 0$$

$$\ln 0.5 i_0 = 2 \Leftrightarrow i_0 = 2 e^2 = 14.78$$

$$i = i_0 + \Delta i \quad u = \Delta u$$

$$\frac{d\Delta i}{dt} = \left. \frac{\partial f}{\partial i} \right|_{i=i_0} \Delta i + \left. \frac{\partial f}{\partial u} \right|_{u=0} \Delta u =$$

$$= -10 \cdot 0.5 \frac{1}{0.5 i_0} \Delta i + u =$$

$$= -0.6766 \Delta i + u \quad (= U(s))$$

$$\text{Laplace} \Rightarrow s \Delta Z(s) + 0.6766 \Delta I(u)$$

$$\Delta Z(s) = \frac{1}{s + 0.6766} U(s)$$

$$U_L = \frac{di}{dt} = \frac{d}{dt} (i_0 + \Delta i) = \frac{d\Delta i}{dt}$$

$$U_L(s) = s \Delta Z(s) \quad \therefore G(s) = \frac{U_L(s)}{U(s)} = \frac{s}{s + 0.6766}$$